

# НАГРЕВ ИОНОВ И ТОНКАЯ СТРУКТУРА ПОТЕНЦИАЛА ПРИ ВЗАИМОДЕЙСТВИИ МАГНИТНОГО ПОРШНЯ С ПЛАЗМОЙ

*Н.А.Кошилев, Н.А.Строкин, А.А.Шишко*

Экспериментально исследовались ионный нагрев и структура потенциала при сжатии плазмы ( $n_0 \approx 0,7 \cdot 10^{12} + 5 \cdot 10^{12} \text{ см}^{-3}$ ) магнитным поршнем ( $H = 1200 \text{ э}, T/4 = 400 \text{ нсек}$ ) в  $\theta$ -пинче без начального магнитного поля. Показано существование широких спектров ионов, движущихся в радиальном направлении и рассеянных на угол  $45^\circ$ . Перед магнитным поршнем формируется скачок потенциала с шириной  $\sim 50 + 100$  дебаевских длин. Результаты не противоречат предположению о существовании в рассмотренных условиях турбулентной электростатической ударной волны.

Как известно ударной волной может быть осуществлен быстрый нагрев плазмы до высоких температур. Для термоядерных исследований наибольший интерес представляют случаи, когда нагревается, в основном, ионная компонента. Результаты экспериментального изучения магнитозвуковых бесстолкновительных ударных волн [1, 2] показали, что преимущественный нагрев ионов происходит при больших числах Maxa  $M_A = \frac{U}{V_A} > M_c \approx 4,5$  ( $V_A = H_0 / \sqrt{4\pi n_0 m_i}$ ) – альфзеновская

скорость,  $H_0$  – начальное магнитное поле). Представляет интерес исследование процессов, протекающих в условиях, когда  $M_A \rightarrow \infty$  ( $H_0 \rightarrow 0$ ). В этих условиях следует выделить ситуацию, при которой формируется отражающий магнитный поршень, создающий встречные потоки ионов большой интенсивности. При развитии ион-ионной неустойчивости турбулентная вязкость должна приводить к эффективной бесстолкновительной диссипации энергии. Интересно также исследовать возможность формирования в плазме перед поршнем электростатической турбулентной ударной волны, обнаруживаемой в экспериментах при изучении взаимодействия потока разреженной плазмы с магнитным барьером [3].

Эксперименты проводились на установке "УН-Феникс" по схеме, описанной в [4]. Плазма с концентрацией  $n_0 = (0,7 + 5) \cdot 10^{12} \text{ см}^{-3}$  ( $T_e \approx T_i \approx 0,5 + 1,0 \text{ эв}, H_0 \lesssim 5 \text{ э}$ ) подвергалась в цилиндрической стеклянной камере ( $d_1 = 16 \text{ см}, l_1 = 100 \text{ см}$ ) быстрому сжатию магнитным полем ( $H = 1200 \text{ э}, T/4 = 400 \text{ нсек}$ ), возбуждаемым ударным витком ( $l_2 = 30 \text{ см}$ ). Измерения параметров токового слоя (ширины  $\Delta_M$ , радиальной скорости распространения  $U$ , скачка магнитного поля  $\Delta H$ ) проводились магнитными зондами с открытой петлей ( $d_2 = 3 \text{ мм}$ ), расположенными на различных расстояниях от оси. Величина скачка потенциала  $\Delta\phi_m$  в слое и его структура измерялись плавающими электрическими зондами. Использование зондов, аналогичных описанным в [1], и широкополосной регистрирующей аппаратурой ( $\Delta f \sim 1 \text{ Гц}$ ), позволило получить высокое временное ( $\lesssim 1 \text{ нсек}$ ) и пространственное ( $\sim 10^{-2} \text{ см}$ ) разрешения. Энергетические спектры ионов  $d\eta_i/dE$  измерялись по быстрым атомам перезарядки с помощью восьмиканального анализатора нейтраль-

ных частиц, имеющего временное разрешение  $10 + 30$  мсек. Для исключения из рассмотрения эффектов кумуляции нейтральные частицы выводились по керамической трубке ( $d_3 = 5$  мм), выдвинутой за ось камеры на расстояние  $r = 2$  см.

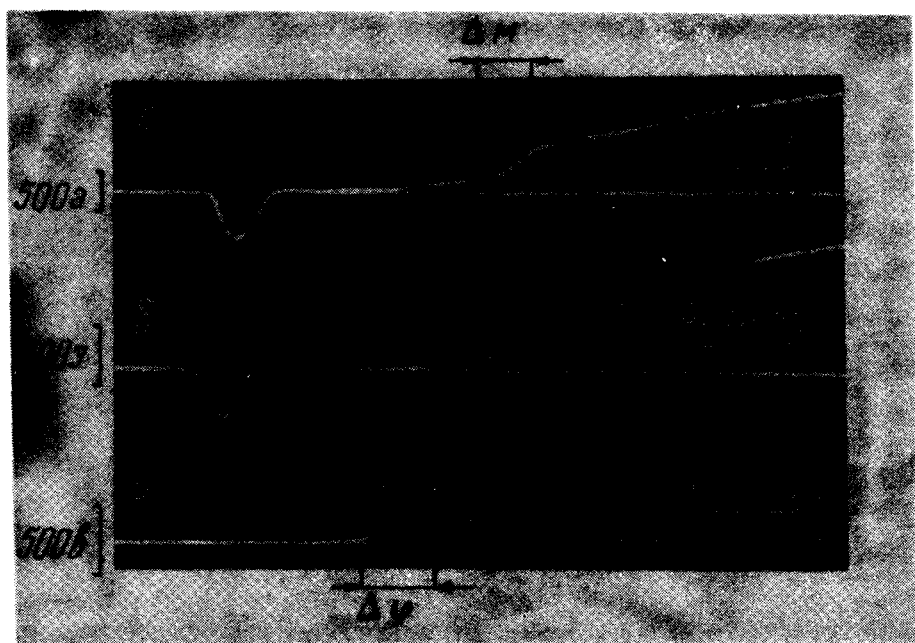


Рис. 1. Типичные осциллограммы сигналов с магнитных зондов, установленных на расстояниях (а) —  $r_2 = 4,5$  см, (б) —  $r_1 = 3,5$  см от оси и электрического зонда, (в) —  $r_1 = 3,5$  см ( $n_0 = 2 \cdot 10^{12}$  см $^{-3}$ ,  $U \approx 3,8 \times 10^7$  см/сек)

Измерения магнитного поля пятью зондами, установленными вдоль радиуса камеры через равные промежутки  $\Delta r = 1$  см, показали, что в плазме формируется квазистационарный ( $U, \Delta_M$  практически не меняются на длине регистрации) токовый слой с шириной  $\Delta_M \approx (2 + 4) C / \omega_{pe}$  ( $\omega_{pe}$  — ленгмюровская частота электронов,  $C$  — скорость света) (рис. 1, а, б). Зависимость  $U = f(n_0, \Delta H)$  близка к  $U = \Delta H / \sqrt{16\pi n_0 m_i}$  (в исследованном диапазоне  $n_0$  скорость  $U$  лежит в пределах  $2,5 \cdot 10^7 + 7 \cdot 10^7$  см/сек). Одновременная регистрация амплитуды потенциала в слое  $\Delta \phi_m$  позволила определить что величина  $2e\Delta\phi_m/mU^2 \approx 1$ . Полученные соотношения согласуются с условиями полного отражения плазмы магнитным поршнем [5]. При измерении  $dn_i/dE$ , в радиальном направлении регистрируется широкий спектр в виде плато с резким спадом при энергии  $E_1 (\sim 1900$  эВ) (рис. 2, кривая 1). Одновременные измерения скорости слоя при различных  $n$  показали, что энергия  $E_1$  связана с  $U$  соотношением:  $E_1 \approx m_i (2U)^2/2$ , что является независимым подтверждением зондовых данных о существовании отражения. Важным фактом, указывающим на нагрев ионов при взаимодействии магнитного поршня с плаз-

мой является обнаруженное уширение спектра<sup>1)</sup>. Измерения спектров ионов, идущих под углом  $45^\circ$  к аксиальному направлению (рис. 2, кривая 2) указывают на турбулентную природу взаимодействия отраженного и налетающего потоков плазмы. Из сравнения кривых 1 и 2 видно,

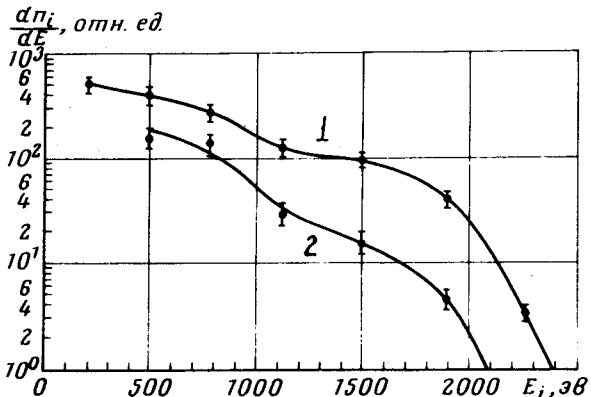


Рис. 2. Энергетические спектры ионов  $dn_i/dE$ , движущихся в радиальном направлении (кривая 1) и под углом  $45^\circ$  к аксиальному направлению (крайняя  $n_0 = 3 \cdot 10^{12} \text{ см}^{-3}$ ,  $U \approx 2,8 \cdot 10^7 \text{ см/сек}$ )

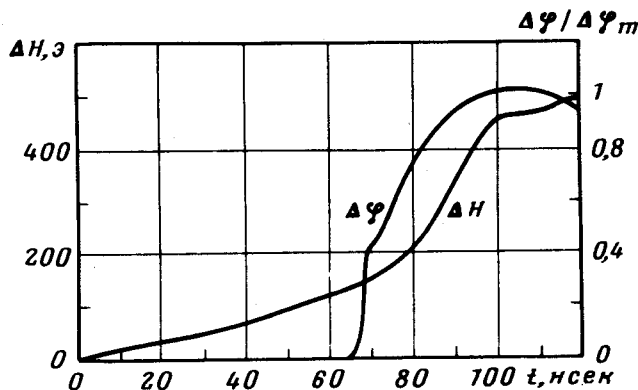


Рис. 3. Временная последовательность регистрации потенциального  $\Delta\phi$  и магнитного  $\Delta H$  скачков ( $r_1 = 3,5 \text{ см}$ ) ( $n_0 = 2 \cdot 10^{12} \text{ см}^{-3}$ ,  $U \approx 3,8 \cdot 10^7 \text{ см/сек}$ )

что относительная доля рассеянного потока достаточно велика  $10 + 50\%$  и, как показывают оценки, не может быть объяснена рассеянием на кулоновских столкновениях  $l_3/\lambda_K \sim 10^{-2} + 10^{-4}$ ,  $l_3$  – толщина рассеивающей мишени,  $\lambda_K$  – кулоновская длина свободного пробега). Измерения спектров позволяют сделать вывод о наличии турбулентного нагрева

<sup>1)</sup> К уширению спектра нейтральных частиц, по которому восстанавливались  $dn_i/dE$ , могут привести эффекты перезарядки ионов в разных точках потенциала. Однако в режимах с  $n_0 > 5 \cdot 10^{12} \text{ см}^{-3}$ , где ширина профиля потенциала много меньше длины пути перезарядки, также регистрируется широкий спектр.

ионной компоненты плазмы. Такое поведение может быть связано с развитием в плазме с  $T_e > T_i$  ион-ионной неустойчивости [6] (неизотермичность плазмы, как показывают оценки, может достигаться за счет кулоновского прогрева электронов ( $T_e \sim 30$  эв) в подножии, которое существует перед основным скачком магнитного поля (рис. 1, а, б).

Исходя из полученных экспериментальных данных можно сделать предположение о существовании в рассматриваемых условиях турбулентной электростатической ударной волны, образующейся при развитии ион-ионной неустойчивости. Для обнаружения фронта этой волны электрический зонд устанавливался на расстоянии 3,5 см от оси. Одновременно контролировались профиль магнитного поля в поршне и скорость его распространения. На рис. 1, в приведена типичная для указанного диапазона  $n_e$  осциллограмма сигнала с электрического зонда. Характерной особенностью регистрируемого профиля потенциала является наличие скачка с временной длительностью  $\Delta\tau \approx 2 + 4$  мсек, распространяющегося впереди магнитного поршня (рис. 3). Оценки пространственной ширины этого скачка, сделанные по удвоенной скорости поршня, дают величину  $\Delta\phi \approx (50 + 100)r_D$  ( $r_D$  – дебаевский радиус при  $T_e = 30$  эв,  $n_e = n_0$ ).

Таким образом, совокупность экспериментальных фактов показывает, что при распространении в плазме отражающего магнитного поршня наблюдается эффективный бесстолкновительный нагрев ионной компоненты. Перед поршнем наблюдается фронт потенциала с шириной  $\Delta\phi << \Delta_M$ . Полученные результаты согласуются с предположением о существовании в рассмотренных условиях турбулентной электростатической ударной волны.

В заключение авторы благодарят В.Т.Бельды и Н.В.Лебедева за помощь в проведении измерений.

Институт земного магнетизма,  
ионосферы и распределения радиоволн

Поступила в редакцию  
30 июля 1977 г.

## Литература

- [1] В.Г.Еселеевич, А.Г.Еськов, Р.Х.Куртмуллаев, А.И.Малютин. ЖЭТФ, 60, 2079, 1971.
- [2] Н.И.Алиновский, А.Т.Алтынцев, Н.А.Кошилев. ЖЭТФ, 62, 2121, 1972.
- [3] О.Л.Волков, В.Г.Еселеевич, Г.Н.Кичигин, В.Л.Паперный. ЖЭТФ, 67, 1689, 1974.
- [4] Н.А.Кошилев, В.Л.Масалов, Н.А.Строкин, А.А.Шишко. ЖЭТФ, 72, 2110, 1977.
- [5] К.Лэнгмайр. Физика плазмы. М., Атомиздат, 1966.
- [6] А.Б.Михайловский. Теория плазменных неустойчивостей, М., Атомиздат т. 1, 1970.